

Journal of Natural Environmental Hazards, Vol 12, Issue 35, March 2023

Flood risk assessment and zoning using multi-criteria ARAS techniques and a single hydrograph (Case Study: Upstream Basin of Soltan Meshkinshahr Bridge Hydrometric Station)

Mousa Abedini^{1*}, Mehdi Faal Naziri², Elnaz Piroozi³

1. Corresponding Author, Associate Professor of Geomorphology, University of Mohaghegh Ardabili, Iran

2. PhD Student of geomorphology, University of Mohaghegh Ardabili, Iran

3. PhD Student of geomorphology, University of Mohaghegh Ardabili, Iran

Article Info

ABSTRACT

Article type:

Research Article

Article history:

Received: 20 November 2021

Revised: 13 July 2022

Accepted: 06 August 2022

Keywords:

Zoning, Flood Risk, Multi-Criteria Analysis, Meshkinshahr.

Floods are one of the largest and most common forms of natural hazards, and identifying areas prone to floods is one of the basic measures in natural resource management and development planning. Therefore, the present study aims to zone the basin upstream of the Soltan Meshkinshahr Bridge Hydrometric Station in terms of flood potential. To achieve this goal through studies and resource review, the first 11 effective factors of flood occurrence in the region including slope, dem, lithology, distance from the fault, precipitation, land use, distance from the river, flow velocity, flow time, and soil, were identified and extracted in GIS environment. The standardization of the maps was done using the fuzzy method and then to weight the proposed criteria, the CRITIC method was used and the final analysis and modeling were performed using the Aras model. The results showed that the factors of slope, lithology, land use, and dem were by weight values, respectively; 0.164, 0.156, 0.118, and 0.116 have the greatest impact on flooding in the study area. Also, according to the results, 20.46 and 32.02 square kilometers of the area, respectively, are in a very high-risk and high-risk category, which indicates the high potential of this basin for floods. The results also showed that the time required for water to flow to the outlet varies from 0 seconds (rain falling on the outlet itself) to 68,000 seconds (over 17 hours). In this case, smooth areas near the basin with the highest time and lowest speed and also in the pastures on the northeast side with the lowest time and highest speed reach the watershed exit point. Therefore, flood risk zoning can be effective in carrying out conservation, watershed management, and management measures in this basin.

Cite this article: Abedini, M., Faal Naziri, M., & Pirouzi, A. (2023). Flood risk assessment and zoning using multi-criteria Aras technique and single hydrograph (Case Study: Upstream Basin of Soltan Meshkinshahr Bridge Hydrometric Station). Journal of Natural Environmental Hazards, 12(35), 115-138. DOI: 10.22111/jneh.2022.40684.1863



© Mousa Abedini.

Publisher: University of Sistan and Baluchestan

DOI: 10.22111/jneh.2022.40684.1863

* Corresponding Author Email: abedini@uma.ac.ir

مجله علمی پژوهشی مخاطرات محیط طبیعی، دوره ۱۲، شماره ۳۵، فروردین ۱۴۰۲

ارزیابی و پنهانی خطر سیلاب با استفاده از تکنیک چند معیاره ارزیابی نسبت جمعی و هیدروگراف واحد (مطالعه موردی: حوضه بالادست ایستگاه هیدرومتری پل سلطان مشکین شهر)

موسی عابدینی^{۱*}، مهدی فعال نذیری^۲، الناز پیروزی^۳

۱. دانشیار زئومورفولوژی، گروه جغرافیای طبیعی، دانشگاه محقق اردبیلی (نویسنده مسئول)
۲. دانشجوی دکتری، گروه جغرافیای طبیعی، دانشگاه محقق اردبیلی
۳. دانشجوی دکتری، گروه جغرافیای طبیعی، دانشگاه محقق اردبیلی

اطلاعات مقاله چکیده

نوع مقاله: مقاله پژوهشی	تاریخ دریافت: ۱۴۰۰/۰۸/۲۲
واژه‌های کلیدی:	پنهانی خطر سیلاب، تحلیل چند معیاره، مشکین شهر.
	تاریخ ویرایش: ۱۴۰۱/۰۴/۰۰

استناد: عابدینی، موسی، فعال نذیری، مهدی، پیروزی، الناز. (۱۴۰۲). ارزیابی و پنهانی خطر سیلاب با استفاده از تکنیک چند معیاره آراس و هیدروگراف واحد (مطالعه موردی: حوضه بالادست ایستگاه هیدرومتری پل سلطان مشکین شهر). مخاطرات محیط طبیعی، ۱۲(۳۵)، ۱۱۵-۱۳۸.

DOI: 10.22111/jneh.2022.40684.1863



© موسی عابدینی، مهدی فعال نذیری، الناز پیروزی.

ناشر: دانشگاه سیستان و بلوچستان

مقدمه

سیل به وضعیتی گفته می‌شود که در آن جریان رودخانه و سطح آب به صورت غیرمنتظره افزایش پیدا کرده و باعث خسارت مالی و جانی گردد (علیزاده، ۱۳۹۰). در مقایسه با سایر مخاطرات طبیعی، سیلاب‌ها با فراوانی زیاد و در فضایی گسترده اتفاق می‌افتد (گرین^۱ و همکاران، ۲۰۱۴؛ وارد^۲ و همکاران، ۲۰۱۴). به طورکلی مخاطرات سیلاب، ۱۹٪ از کل مخاطرات را در جهان شامل می‌شود. همچنین ۱۹٪ قربانیان، ۲۱٪ مجروحین، ۴۱٪ خسارات، ۶۶٪ بی-خانمان‌ها و ۴۹٪ تأثیرپذیران از کل مخاطرات در جهان مربوط به این مخاطره می‌باشد (اوzi، ۱۳۹۰). این پدیده یکی از بلاایای مهم طبیعی می‌باشد که بسیاری از نقاط جهان از جمله کشورهای توسعه یافته را تحت تأثیر قرار داده است (اسفندیاری و همکاران، ۱۴۰۰). برخی از علل وقوع انواع سیل را می‌توان، ریزش باران شدید یا طولانی، ذوب برف، شکستن سد و لغزش زمین، امواج مرتفع، بستن کانال، شدت بارندگی، زمان و حجم بارندگی، شرایط قبلی رودخانه، زهکشی حوضه، کاربری‌های نامناسب و قطع درختان جنگلی در سرچشمه رودها عنوان کرد (کلائول^۳، ۲۰۱۸؛ تاین‌ستچلی^۴، ۲۰۱۲). از گام‌های اساسی در جهت کاهش آثار زیان‌بار ناشی از سیلاب، شناخت مناطق سیل‌گیر و درجه‌بندی این مناطق از لحاظ میزان خطر سیل است تا براساس نتایج حاصله بتوان در رابطه با نحوه استفاده از اراضی و کاربری‌های مختلف از جمله توسعه بهینه آتنی شهرها و روستاهای، کشاورزی، خدماتی و تولیدی تصمیم‌گیری نمود و زیان‌های ناشی از وقوع سیل را کاهش داد. پهنه‌بندی پتانسیل سیل‌خیزی یکی از روش‌هایی است که جهت کاهش خطرات ناشی از سیل می‌توان اتخاذ نمود (رضائی‌مقدم و همکاران، ۱۴۰۰). با رشد و توسعه فناوری‌های نوین روش‌های موجود، تهیه نقشه‌های پهنه‌بندی خطر سیل و محیط ارائه نمایش این نقشه‌ها نیازمند استفاده از ابزارهای کارآمدتری است. لذا از یک سو در چند دهه اخیر، استفاده از روش‌های تصمیم‌گیری چند معیاره، در زمینه پهنه‌بندی خطر سیلاب بسیار مورد استقبال قرار گرفته است و برای کشف طیف وسیعی از گزینه‌ها از نظر درگیری‌های عینی و معیارهای چندگانه، از روش تصمیم‌گیری چند معیاره استفاده می‌شود و از سوی دیگر، استفاده از نرم‌افزار سیستم اطلاعات جغرافیایی (GIS)، به منظور مدیریت، تفسیر و آماده‌سازی داده‌های فضایی برای مدل‌سازی هیدرولوژیکی، فرصت‌ها و چالش‌های زیادی را برای مدل‌سازان هیدرولوژیکی فراهم می‌کند (چو و همکاران^۵، ۲۰۱۸؛ چن^۶ و همکاران، ۲۰۲۱) و توانایی زیادی جهت تولید نقشه‌های پهنه‌بندی سیلاب و نمایش بصیری آن‌ها در اختیار کاربران قرار می‌دهد. لذا، استفاده از سیستم‌های اطلاعات جغرافیایی و سیستم‌های تصمیم‌گیری چندمعیاره، با یک رویکرد تلفیقی، می‌تواند باعث تسريع در روند برنامه‌ریزی در تشخیص موارد بحرانی و اضطراری شده و منجر به صدور نتایج مناسبی گردد. مطالعات متعددی در نقاط مختلف جهان انجام شده و توانایی تحلیل‌های تصمیم‌گیری چند معیاره، برای ارزیابی و پهنه‌بندی خطر سیلاب نشان داده است. به عنوان مثال: موسوی و همکاران (۱۳۹۵)، در مطالعه‌ای به ارزیابی و پهنه‌بندی خطر سیل‌خیزی با استفاده از تاپسیس فازی در حوضه‌ی آبخیز شهر با غملک پراختند. طبق نتایج از مطالعه ۱۷/۸۶ درصد از مساحت حوضه در طبقه خطر بسیار بالا و ۲۴/۱۵ درصد در

¹. Green

². Ward

³. Kolawole

⁴. Tingsanchali

⁵. Cho et al

⁶. Chen

پنهانه با خطر بالا قرار دارد و مناطق پرخطر به طور عمده در نواحی غربی، جنوبی و جنوب غربی قرار دارد. عابدینی و همکاران (۱۳۹۶)، پنهانه بنده خطر سیلاب در حوضه خیاوچای، را با استفاده از مدل ویکور مورد بررسی قرار دادند. نتایج مطالعه نشان داد، عوامل ارتفاع، لیتولوژی، بارش و شیب به ترتیب بیشترین تأثیر را بر ایجاد سیل در منطقه مطالعاتی دارند و به ترتیب $۲۲/۳۷$ و $۵۲/۵۰$ کیلومترمربع از مساحت محدوده، در طبقه بسیار پرخطر و پرخطر قرار دارند. به علاوه در این مطالعه نیز اشاره شده است که استفاده عملیاتی از روش ویکور، چارچوب قاعدهمندی در تعیین و پنهانه بنده پتانسیل سیل خیزی در سطح محدوده مورد مطالعه ارائه کرده است. نفرزادگان و همکاران (۱۳۹۸)، با استفاده از مدل‌های فرآیند تحلیل سلسله مراتبی و ویکور، به مطالعه و ارزیابی سیلاب در حوضه آبخیز دهبار، در استان خراسان رضوی پرداختند. نتایج حاصل در اولویت‌بندی به روش ویکور نشان داد؛ زیرحوضه یک، دو و سه به ترتیب بیشترین پتانسیل خطر سیلاب را در حوضه دارند و سه زیرحوضه مذکور دارای بالاترین رتبه انتظار ضریب رواناب، بارندگی و شما منحنی می‌باشند. به علاوه در این مطالعه، بیان شده است که تکنیک‌های تصمیم‌گیری چندمعیاره، در تصمیم‌گیری در امور پیچیده که معیارهای متعددی در تصمیم‌گیری آن دخیل می‌باشند، به عنوان ابزارهایی قوی و انعطاف‌پذیر می‌باشند. خورشیدی و همکاران (۱۴۰۰)، اولویت‌بندی پتانسیل سیل خیزی در حوضه آبخیز حاجی‌بختیار، استان ایلام را با کاربرد روش فرآیند تحلیل سلسله مراتبی و ویکور مطالعه کردند. با توجه به نتایج مطالعه، ۳۱ درصد از مساحت منطقه در پتانسیل سیل خیزی متوسط، ۵۳ درصد در پتانسیل زیاد و ۱۶ درصد در پتانسیل خیلی زیاد واقع شده است. در نهایت با توجه به نتایج حاصله، توانایی روش ویکور در بررسی سیلاب مورد تأیید قرار گرفته است. سامانتا و همکاران^۱ (۲۰۱۶)، به تجزیه و تحلیل خطر سیل در بخش پایینی رودخانه مارکام در گینه نو براساس روش تصمیم‌گیری چند معیاره (ترکیب خطی وزن‌دار) پرداختند. در این مطالعه، اعتبارسننجی نقشه خطر سیل با استفاده از سوابق سیلاب‌های گذشته در منطقه مورد مطالعه انجام شد و خروجی نهایی مطالعه، حاکی از این موضوع است که نتایج حاصل از تصمیم‌گیری چند معیاره در تجزیه و تحلیل خطر سیلاب دقیق و قابل اطمینان بوده است. شیوا شارما و همکاران^۲ (۲۰۱۸)، در مطالعه‌ای در حوضه رودخانه کپیل هندوستان با استفاده از فنون تحلیل چند معیاره و تصاویر ماهواره‌ای به پنهانه بنده خطر سیلاب پرداختند، طبق نتایج حاصل از مطالعه $۲۴/۸۳۷$ هکتار از محدوده (در ۹۵ روستا)، دارای احتمال خطر بسیار زیاد است. برهمما و میترا^۳ (۲۰۱۹)، در حوضه‌ی آسام هند، خطر سیلاب را با بهره‌گیری از روش ویکور مورد مطالعه قراردادند. در این پژوهش جهت استانداردسازی لایه‌ها از روش فازی و به منظور وزن‌دهی معیارها از روش AHP استفاده شده است. در نهایت با توجه به نتایج حاصله قابلیت روش ویکور در بررسی سیلاب، در این مطالعه مورد تأیید قرار گرفته است. ژو و همکاران^۴ (۲۰۲۰)، به بررسی مقاومت دلتای رودخانه یانگ تسه چین (شامل ۲۷ شهر)، در برابر سیلاب شهری پرداخته‌اند. در این مطالعه از روش‌های چند معیاره تاپسیس و ویکور با توجه به ۶۳۲ سناریو استفاده شده است. نتایج مطالعه نشان داد، در حالی که کل منطقه سطح متوسطی از مقاومت در برابر سیل شهری را نشان می‌دهد، ولی شهر نانجینگ پتانسیل بالاتری

¹. Samanta et al². Shiva Sharma et al³. Brahma and Mitra⁴. Zhu et al

دارد. در نهایت در این مقاله نیز اذعان شده است که استفاده از فنون تحلیل چند معیاره نتایج قابل قبولتری را در امر پهنه‌بندی خطر سیلاب، ارائه می‌دهند.

حوضه بالادست ایستگاه پل سلطان مشکین شهر، به لحاظ شرایط خاص منطقه، مانند توپوگرافی، شیب و وضعیت لیتوژئی (وجود سازندهایی با نفوذ پذیری کم) و شرایط اقلیمی (بارش‌های ناگهانی، رگبارهای بهاری، ذوب برف‌ها و طغیان رودخانه‌ها در بهار) از پتانسیل بالایی برای وقوع سیلاب برخوردار می‌باشد. وقوع سیلاب در سطح حوضه، علاوه بر، فرسایش گسترده حواشی رودخانه، تغییرات مورفولوژیکی، جابه‌جایی و ناپایداری بستر رودخانه (شکل ۱)، خسارات مالی و تلفات جانی فراوانی را نیز به دنبال داشته است. به عنوان مثال؛ سیل ۱۳۸۰ مشکین شهر، علاوه بر خسارات اقتصادی، موجب کشته شدن ۳۰ نفر و نیز صدها مجروح و مفقود گردید (عبدینی، ۱۳۹۵)، لذا ضروری است که در مورد دلایل و عوامل اصلی سیلاب در این منطقه و پهنه‌بندی آن مطالعاتی صورت گیرد. در مطالعه‌ی حاضر پهنه‌بندی حوضه به لحاظ پتانسیل خطر وقوع سیلاب با استفاده از روش تحلیل چند معیاره‌ی آراس و با استفاده از سیستم‌های اطلاعات جغرافیایی مد نظر قرار گرفته است، تا با شناسایی مناطق اولویت‌دار از نظر خطر سیلاب، اقدامات لازم جهت کنترل، برنامه‌ریزی بهره‌برداری بهینه از منابع و استراتژی‌های مدیریت پایدار زمین به عمل آید. نتایج حاصل از این مطالعه می‌تواند برای پژوهشگران، مسئولان و سیاست‌گذاران در راستای پتانسیل‌سنجدی سیلاب حوضه بسیار جالب باشد.

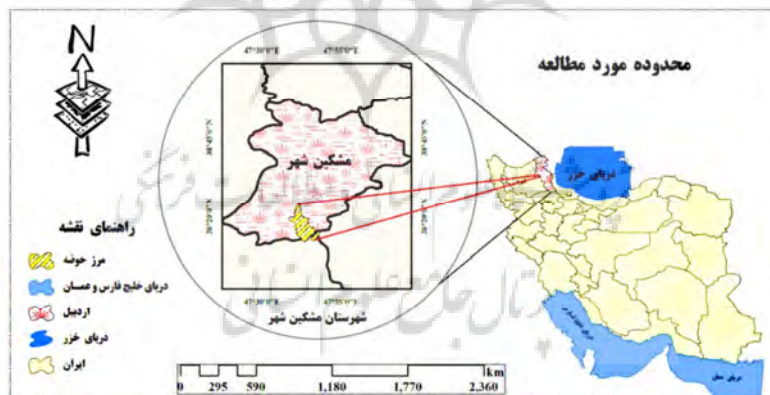


شکل ۱: نمایی از سیلاب‌های ناگهانی و تخریب و فرسایش ناشی از آن در محدوده پل سلطان و اطراف شهر مشکین شهر.

داده‌ها و روش‌ها

معرفی منطقه مورد مطالعه

حوضه بالادست ایستگاه پل سلطان مشکین شهر، با مساحت حدود ۱۲۷/۳۸ کیلومترمربع در ۴۷ درجه و ۳۸ دقیقه و ۳۰ ثانیه تا ۴۷ درجه و ۴۸ دقیقه و ۱۵ ثانیه طول شرقی و ۳۸ درجه و ۱۲ دقیقه تا ۳۸ درجه و ۲۳ دقیقه عرض شمالی و در شهرستان مشکین شهر قرار دارد (شکل ۲). این حوضه، از زیرشاخه‌های قره سو می‌باشد. رودخانه‌ی اصلی این حوضه خیاوچای نام دارد که از ارتفاعات سبلان (هزار میخ، آسی قاری، دلی آلی، جنوار داغی) سرچشمه می‌گیرد و سرتاسر دره مؤیل را طی نموده و به رودخانه‌ی قره سو می‌ریزد. رودخانه‌ی خیاوچای به دلیل سرچشمه گرفتن از ارتفاعات پربرف سبلان رودخانه‌ای دائمی است، از این رو کاربری اراضی حاشیه‌ی این رودخانه در کل مسیر شامل باغات و اراضی کشاورزی است. نیاز آبی این اراضی تقریباً بطور کامل از رودخانه‌ی خیاوچای تأمین شده و آب رودخانه از طریق انهار سنتی و مدرن انتقال می‌یابد. دمای هوا در طول سال بین ۳۰ و +۳۰ درجه سانتی گراد متغیر است و میانگین بارندگی سالانه $376/6$ میلی‌متر می‌باشد. حداقل ارتفاع محدوده ۴۵۱۵ متر و حداقل ارتفاع آن ۱۳۷۳ متر از سطح دریا می‌باشد. حوضه مطالعه‌ی به لحاظ زمین‌شناسی از سازنده‌های گوناگون و متنوع مربوط به دوران‌های مختلف زمین‌شناسی تشکیل گردیده که بخش اعظم آن متعلق به تشكیلات آذربین می‌باشد. این تشكیلات که حاصل فعالیت‌های آتش‌نشانی اوخر دوران سوم و اوایل دوران چهارم زمین‌شناسی است که دارای نفوذپذیری پایین و مقدار رواناب زیاد می‌باشند.



شکل ۲: نقشه موقعیت محدوده مورد مطالعه.

در حوضه مورد مطالعه، حداقل رژیم آبدهی ماهانه در ماه‌های اردیبهشت و خرداد، $5/67$ متر مکعب در ثانیه می‌باشد و حداقل رژیم آبدهی ماهانه در ماه‌های تیر، مرداد، شهریور و مهر می‌باشد. حداقل رژیم آبدهی سالانه $0/25$ و حداقل سالانه آن $1/36$ متر مکعب بر ثانیه است و متوسط رژیم آبدهی سالانه آن $0/7$ متر مکعب بر ثانیه می‌باشد (جدول ۱).

جدول ۱: رژیم آبدهی ماهانه و سالانه رودخانه خیاوچای در محل ایستگاه آب‌سنگی پل سلطان مشکین شهر (بر حسب مترمکعب در ثانیه) (منبع: داده‌های ایستگاه‌های هیدرومتری سازمان آب منطقه‌ای استان اردبیل).

ماه	رژیم آبدهی حداقل	رژیم آبدهی متوسط	رژیم آبدهی حداکثر	ماه
مهر	۰/۳۶	۱/۰۱	۰/۳۶	.
آبان	۰/۷۵	۱/۹	۰/۷۵	۰/۲۷
آذر	۰/۹۶	۱/۶۵	۰/۹۶	۰/۴۵
دی	۱/۱۶	۱/۷۳	۱/۱۶	۰/۷۳
بهمن	۱/۲۶	۳/۳۱	۱/۲۶	۰/۸۵
اسفند	۱/۱۳	۱/۶۹	۱/۱۳	۰/۵۴
فروردین	۱/۰۲	۳/۲۳	۱/۰۲	۰/۱
اردیبهشت	۰/۷۶	۵/۶۷	۰/۷۶	۰/۰۶
خرداد	۱/۴۶	۵/۶۷	۱/۴۶	۰/۰۱
تیر	۰/۶۷	۳/۶۹	۰/۶۷	.
مرداد	۰/۲۳	۳/۵۷	۰/۲۳	.
شهریور	۰/۱۳	۱/۵۴	۰/۱۳	.
سالانه	۰/۷	۱/۳۶	۰/۷	۰/۲۵

داده‌ها و روش‌ها

به منظور دستیابی به هدف تحقیق ابتدا با مطالعه و بررسی مبانی نظری موضوع، عوامل موثر بر وقوع سیلاب شناسایی شد. سپس نسبت به تهیه نقشه‌های هر یک از معیارهای مطرح در Arc GIS اقدام شد. در این راستا، لایه اطلاعاتی شبکه آبراهه، با استفاده از نقشه‌ی رودخانه‌های استان اردبیل، تهیه و مورد سنجش قرار گرفت. لایه‌ی طبقات ارتفاعی، شبیب با استفاده از مدل رقومی ارتفاعی ۱۲/۵ متر، ماهواره‌ی Alos، سنجنده Palsar، اخذ شده از سایت (https://search.asf.alaska.edu) تهیه شد. لایه‌های اطلاعاتی زمین‌شناسی و لیتوژوژی، با استفاده از نقشه زمین‌شناسی مشکین شهر به مقیاس ۱:۱۰۰۰۰۰، بدست آمد. نقشه بارش حوضه نیز، با توجه به داده‌های ایستگاه‌های هواشناسی و باران‌سنجی و با بهره‌گیری از معادله گرادیان بارش (P:51/48+0/175*H)، ترسیم شد. بدین صورت که در نرم‌افزار Arc map، با استفاده از دستور Raster Calculator، نقشه طبقات ارتفاعی جایگزین مولفه H شده و سپس نقشه بارش استخراج گردید.

به منظور تخمین رواناب حوضه، از روش شماره منحنی (CN)، نرم افزار ARC GIS و الحاقیه‌های Arc-Hydro و Arc CN-Runoff، استفاده شد. اولین کار بر اساس روش CN تعیین گروههای هیدرولوژیک خاک (نشان‌دهنده وضعیت بافت و نفوذپذیری خاک)، می‌باشد. خاک حوضه خیاوچای، شامل سه گروه B, C, D هست و بیشتر مساحت حوضه از نوع خاک‌هایی است که دارای بافت ریز یا سنگین است و عملاً غیرقابل نفوذ بوده و پتانسیل سیل‌خیزی بالایی دارند. معیار دیگری که در تهیه نقشه شماره منحنی (CN)، مورد استفاده قرار گرفته است، کاربری اراضی می‌باشد. در تحقیق حاضر با هدف استخراج کاربری اراضی حوضه بالادست ایستگاه هیدرومتری پل سلطان مشکین شهر، ابتدا تصاویر ماهواره‌ای لندست از سنجنده‌های (OLI) برای سال (۲۰۲۱) در ماه آگوست از سایت زمین‌شناسی آمریکا اخذ

شد (جدول ۲). برای استخراج نقشه کاربری اراضی از ترکیب باندهای مرئی (آبی و سبز و قرمز) و مادون قرمز نزدیک ماهواره لنdest، جهت طبقه‌بندی استفاده شد. لازم به ذکر است، برخلاف طبقه‌بندی پیکسل پایه، در طبقه‌بندی شی‌گرا ترکیب چهار باند (۷-۶-۳-۲) ماهواره لنdest امکان‌پذیر می‌باشد. سپس به منظور آماده‌سازی تصاویر، تصحیحات هندسی و اتمسفری با استفاده از روش Flaash روی تصاویر و نرم‌افزار Envi5.3 اقدام شد. درنهایت طبقه‌بندی با روش شی‌گرا و با الگوریتم نزدیک‌ترین همسایگی توسط نرم‌افزار Ecognition صورت پذیرفت. طبقه‌بندی شی‌گرا فرایندی است که کلاس‌های پوشش اراضی را به اشیاء تصویری ارتباط می‌دهد این نوع از طبقه‌بندی بر اساس منطق فازی استوار است و ارزش عوارض را به ارزش فازی (بین صفر و یک) با درجه عضویت معین برای هر کلاس تبدیل می‌کند (رضائی‌مقدم و همکاران، ۱۳۸۹). مبنای طبقه‌بندی شی‌گرا فرایند قطعه‌بندی می‌باشد. لذا، در فرآیند قطعه‌بندی مفسر می‌تواند با در نظر گرفتن پارامترهای شکل، بافت، ضریب فشردگی و معیار نرمی، فرایند قطعه‌بندی تصویر را انجام داده و بر اساس نسبت اهمیت هر یک از این عوامل در خصوصیات کلاس‌های مورد نظر برای استخراج از تصاویر ماهواره‌ای، نسبت اهمیت آن‌ها را در فرآیند قطعه‌بندی اعمال نماید (فیضی‌زاده و همکاران، ۱۳۸۷). قبل از انجام طبقه‌بندی به روش شی‌گرا لازم است، قطعه‌بندی تصویر صورت گیرد. پارامترهای مؤثر بر استخراج کلاس‌ها در طبقه‌بندی شی‌گرا در این پژوهش شامل؛ ۱- انحراف معیار باندها: انحراف معیار یکی از شاخص‌های پراکندگی است که نشان می‌دهد به طور میانگین، داده‌ها چه مقدار، از مقدار متوسط فاصله‌دارند در این شاخص از سه پارامتر شامل، باند مادون‌قرمز و قرمز و سبز استفاده شد. ۲- شاخص NDVI^۱: در این پژوهش از شاخص NDVI به منظور جداسازی بهتر پوشش گیاهی از بقیه پدیده‌ها استفاده شد. ۳- شاخص PCI^۲: واریانس^۳ به کار واریانس برای محاسبه بافت بر پایه میانگین و پراکندگی در اطراف میانگین از ارزش سلول‌ها داخل GLCM^۴ به گرفته می‌شود. ۵- در شاخص هندسی، از پارامترهای مؤثری چون حداقل اختلاف، درجه روشنایی، ضخامت، مساحت و فشردگی استفاده می‌شود. در تحقیق حاضر برای قطعه‌بندی از روش قطعه‌بندی چند مقیاسه استفاده شد. بدین منظور با تجزیه و تحلیل، جهت قطعه‌بندی، مقیاس ۸۵، شکل ۶/۰ و ضریب فشرگی ۰/۰، انتخاب شد. در مرحله بعد با تلفیق گروه‌های هیدرولوژیک خاک و کاربری زمین و مقایسه نقشه کاربری اراضی منطقه با جدول شاخص، شماره منحنی مشخص شد. در مرحله بعد با استفاده از شماره منحنی‌ها و نقشه بارندگی منطقه، پتانسیل تولید رواناب‌ها برای هر محدوده، محاسبه شد.

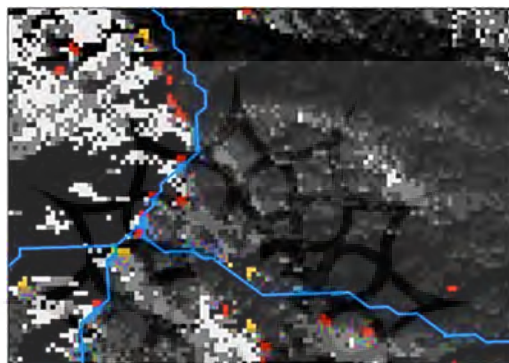
جدول ۲: خصوصیات تصاویر سنجنده (TM-OLI) از ماهواره لنdest.

تصویر	تاریخ اخذ	ردیف/اگذر	تعداد باند	قدرت تفکیک	زاویه ازیموت	زاویه خورشید	ارتفاع	زاویه خورشید
لنdest OLI	۲۰۰۲/۸/۱۴	۱۶۷/۳۲	۷ باند	۳۰ متر	۱۷/۴۲	۵۹/۲۴	۵۹/۲۴	

با توجه به اهمیت پیش‌بینی زمان و سرعت جریان در برآورد سیلاب، در پژوهش حاضر، شبیه‌سازی جهت جریان با استفاده از مدل رقومی زمین، تجزیه و تحلیل میدان سرعت مکانی، تخمین مدت زمان رسیدن سیل به نقاط مختلف

¹. Normalized Difference Vegetation Index². Precipitation Concentration Index³. Gray Level Co Gray Level Co-Occurrence Matrix

و استخراج هیدروگراف واحد در حوضه بالادست ایستگاه پل سلطان، نیز مورد بررسی قرار گرفت. در این راستا، از مدل‌های رقومی ارتفاعی (DEM) ماهواره Alos سنجنده Palsar (12.5 m) از سایت (ASF NASA) و نرمافزارهای arc gis pro, envi, python پیش پردازش داده‌ها (به صورت پرکردن سینک‌ها، ارزیابی جهت جریان، الحاق نقطه خروجی به جریان رودخانه و تعیین محدوده و سطح حوضه بالادست خروجی)، اجرا گردید. جهت افزایش دقت مطالعه، قبل از هر گونه آنالیز هیدرولوژیکی پتانسیل سیل، گودی‌ها با توجه به جهت جریان وتابع Fill Sinks برای منطقه از داده‌های ارتفاعی حوضه شناسایی و حذف گردید و با توجه به شناسایی و حذف سینک‌ها، ارزش تمامی سینک‌ها به مقدار ارزش پایین‌ترین سلول در کنار سینک تغییر یافت و نقشه DEM جدید ایجاد شد (شکل ۳).



شکل ۳: شناسایی سینک‌ها (گودی‌های موجود در DEM حوضه به صورت نقاطی با رنگ قرمز و نارنجی مشخص می‌باشند).

در مرحله بعد، برای تعیین زمان مورد نیاز آب جریان، ابتدا به تعیین سرعت جریان آب نیاز می‌باشد (یو و همکاران^۱، ۲۰۲۱). انواع فراوانی از پهنه‌های سرعت وجود دارند و آن‌ها را می‌توان با طیف گسترده‌ای از معادلات ریاضی محاسبه کرد. ما یک پهنه سرعتی مبنی بر فرضیه‌های با ویژگی‌های مکانی متغیر (سرعت تحت تاثیر مولفه‌های مکانی مانند شیب و تجمع جریان است) و ثابت از لحظه زمان (سرعت در یک مکان مشخص در طول زمان تغییر نمی‌کند) و دبی ثابت (سرعت در یک مکان معین به سرعت جریان آب در محل بستگی ندارد) را ایجاد می‌کنیم. در این روش، هر سلول در میدان سرعت به یک سرعت براساس شیب محلی و تجمع جریان در بالا دست، تحت عنوان ناحیه موثر (تعداد سلول‌هایی که به آن سلول جریان می‌یابند)، اختصاص داده می‌شود (رابطه ۱).

$$V = V_m (sb \ Ac) / (sb \ Acm) \quad (1)$$

در معادله فوق، V سرعت یک سلول با شیب محلی s و در یک ناحیه موثر در بالادست A است. ضرایب b و c را می‌توان با کالیبراسیون، یک روش آماری تعیین کرد. تغییر پارامترهای مدل به گونه‌ی است که داده‌های پیش‌بینی شده تا حد ممکن به داده‌های مشاهده شده نزدیک باشد. V_m سرعت متوسط تمام سلول‌های حوضه آبخیز است. سرعت متوسط s/m برابر با $0.1/V_m$ در نظر گرفته شده است. سرانجام، $sbAc$ متوسط سطح شیب در کل حوضه آبخیز است. برای جلوگیری از نتایج غیر واقع‌بینانه حد پایینی 0.02 متر در ثانیه و حد بالایی 2 متر در ثانیه، برای حداقل و

¹ Yoo et al

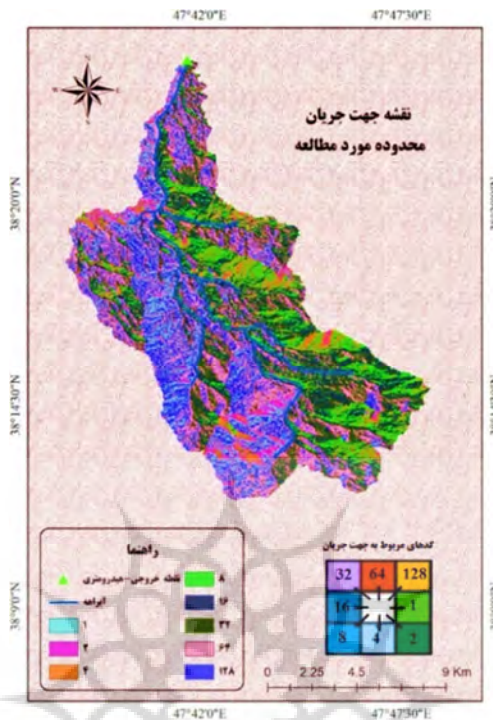
حداکثر سرعت تنظیم گردید. مرحله بعدی مربوط به فرآیند پژوهش حاضر، به صورت ایجاد شبکه وزنی و تهیه نقشه خطوط همپیمايش میباشد. به هر نقطه در حوضه میتوان زمانی منحصر به فرد و خاص به عنوان اختلاف میان زمان رخداد مؤلفه‌ای از بارش خالص در آن نقطه و مشاهده اثر آن در خروجی نسبت داد. این فاصله زمانی همان زمان پیمايش نقطه مزبور میباشد (لارنسون، ۱۹۹۳؛ به نقل از شکوهی و ثقفیان، ۱۳۸۵). زمان پیمايش از نسبت طول جریان به سرعت جریان بدست میآید. بر این اساس برای ترسیم نقشه زمان پیمايش بایستی دو لایه طول جریان و سرعت جریان ایجاد شده باشد. سرعت جریان آب در طول رویداد بارش فرضی را به دست آورده‌ایم و برای تعیین طول جریان، ما به دو متغیر جهت جریان و وزن نیاز داریم. نقشه جهت جریان نیز، در مراحل قبلی به دست آمده است (شکل ۴) و برای تهیه نقشه همپیمايش یا همزمان، باید یک شبکه وزنی ایجاد میکنیم. در حالی که محاسبه وزن ممکن است بدون داده‌های دقیق زمین دشوار به نظر برسد، اما میتوانیم در این رابطه از دو معادله (۲ و ۳)، استفاده کنیم.

$$\text{Flow time [T]} = \text{Flow Length [L]} / \text{Velocity [LT\text{--}1]} \quad (2)$$

$$\text{Flow time [T]} = \text{Flow Length [L]} * \text{Weight [L\text{--}1T]} \quad (3)$$

مرحله بعدی از مراحل پژوهش، ایجاد یک هیدروگراف واحد است. پنج طبقه‌بندی هیدروگراف وجود دارد، یعنی هیدروگراف طبیعی، هیدروگراف واحد، هیدروگراف واحد بدون بعد، هیدروگراف مصنوعی و هیدروگراف شکاف سد (سیلاله‌یا و هیدایاتب^۱، ۲۰۱۹). در این مقاله از هیدروگراف واحد (واحد هیدروگراف) در پیش‌بینی سیل استفاده شده است که از طریق ارائه یک نقشه هم زمان به دست می‌آید که رابطه بین زمان و مساحت آب جاری به خروجی را نشان خواهد داد. مفروضات اساسی برای مدل‌سازی سیستم‌های هیدرولوژیکی با استفاده از هیدروگراف‌های واحد عبارتند از: الف) حوضه‌های آبخیز به عنوان سیستم‌های خطی پاسخ می‌دهند. ب) شدت بارندگی مؤثر به طور یکنواخت در کل حوضه رودخانه توزیع شده است. ج) مازاد بارندگی در تمام مدت بارندگی شدت ثابتی داشته باشد. د) مدت زمان هیدروگراف رواناب مستقیم (پایه زمانی) مستقل از شدت بارندگی موثر است و تنها به مدت زمان موثر بارندگی بستگی دارد (سیلاله‌یا و هیدایاتب، ۲۰۱۹).

¹. Silalahia and Hidayatb



شکل ۴: نقشه جهت جریان حوضه مورد مطالعه.

تهییه نقشه پهنه‌بندی سیلاب با استفاده از روش آراس^۱ (اوزیابی نسبت جمعی)

روش ARAS مبتنی بر این استدلال است که با استفاده از مقایسه‌های ساده نسبی می‌توان پدیده‌های دنیای پیچیده را درک کرد (علیزاده و همکاران، ۱۴۰۰). این تکنیک، روشی قدرتمند در ارائه نرخ عملکرد و درجه مطلوبیت گزینه‌های مختلف نسبت به وضع بهینه است و از سهولت کاربرد نسبی نیز برخوردار است (آنامرادنژاد و همکاران، ۱۳۹۷). مراحل الگوریتم پیاده‌سازی آراس به شرح ذیل می‌باشد:

۱: تشکیل ماتریس تصمیم: ماتریس تصمیم در این روش به صورت معیار-گزینه است. یعنی یک ماتریسی که ستون‌های آن را معیارهای مساله و سطرها را گزینه‌ها تشکیل می‌دهند و هر سلول نیز در واقع امتیاز هر گزینه نسبت به هر معیار است.

۲: نرمال کردن ماتریس تصمیم یا استانداردسازی: در پیاده‌سازی تمامی الگوریتم‌های مورد استفاده در پژوهش حاضر و جهت دستیابی به الگوی پهنه‌بندی مکانی خطر فرسایش خاک، مرحله استانداردسازی، با توجه بهتابع عضویت فازی صورت پذیرفت (جدول ۳). استاندارد نمودن داده‌ها به معنی همسان کردن دامنه تغییرات داده‌ها بین صفر و یک و یا یک دامنه مشخص دیگر است. در مجموعه‌های فازی، بیشترین ارزش یعنی مقدار یک به حداقل عضویت و

¹. Additive Ratio Assessment

کمترین ارزش یعنی صفر به حداقل عضویت در مجموعه تعلق می‌گیرد (بایوم‌گرتل و همکاران^۱، ۲۰۱۹، حسینی و همکاران^۲، ۲۰۱۹).

جدول ۳: نوع توابع فازی‌ساز لایه‌های موضوعی تأثیرگذار بر خطر سیلاب.

متغیر	توضیحات	نوع تابع فازی
شیب	با افزایش مقدار شیب، خطر سیلاب افزایش می‌یابد.	تابع خطی افزایشی
کاربری اراضی	اختصاص کدها بر اساس اهمیت آن در وقوع خطر سیلاب و سپس فازی کردن.	تابع بزرگ فازی
طبقات ارتفاعی	با کاهش مقدار ارتفاع، خطر سیلاب افزایش می‌یابد.	تابع خطی کاهشی
لیتوЛОژی	اختصاص کدها بر اساس اهمیت آن در وقوع خطر سیلاب و سپس فازی کردن.	تابع بزرگ فازی
خاک	اختصاص کدها بر اساس اهمیت آن در وقوع خطر سیلاب و سپس فازی کردن.	تابع بزرگ فازی
فاصله از رودخانه	در مناطق مجاور رودخانه، پتانسیل وقوع مخاطره سیلاب افزایش می‌یابد.	تابع نزدیک فازی
بارش	با افزایش مقدار بارش، خطر سیلاب افزایش می‌یابد.	تابع خطی افزایشی
CN	با افزایش مقدار شماره منحنی، خطر سیلاب افزایش می‌یابد.	تابع خطی افزایشی
ارتفاع روتاب	با افزایش ارتفاع روتاب، خطر سیلاب افزایش می‌یابد.	تابع خطی افزایشی
زمان جریان	با کاهش مقدار زمان جریان، خطر سیلاب افزایش می‌یابد.	تابع خطی کاهشی
سرعت جریان	با افزایش سرعت جریان، خطر سیلاب افزایش می‌یابد.	تابع خطی افزایشی

۳: وزن دار کردن ماتریس نرمال: جهت وزن دار کردن ماتریس نرمال برای استخراج پنهانه‌بندی روش‌های متعددی، مانند: CRITIC، AHP، ANP وجود دارد. اما در این پژوهش، جهت وزن دهی عوامل از روش CRITIC استفاده شده است. در این روش، داده‌ها بر اساس میزان تداخل و تضاد موجود بین عوامل یا معیارها مورد تجزیه و تحلیل قرار می‌گیرد و بعد از محاسبه انحراف معیار عوامل، ماتریس متقابلی به ابعاد $m \times m$ ایجاد می‌گردد که شامل ضرایب همبستگی بین بردارهای تشکیل شده است. با تعیین پارامترهای بالا، تضاد موجود بین معیار j با معیارهای دیگر با استفاده از رابطه 4 ، محاسبه می‌گردد.

$$C_{jk} = \sum_{k=1}^m (1 - r_{jk}) \quad (4)$$

که در آن C_{jk} معرف مجموع تضاد معیار j با معیارهای k است که از $1 = k$ شروع شده و تا $m = k$ ادامه دارد و r_{jk} همبستگی بین دو معیار k و j را نشان می‌دهد. میزان اطلاعات عامل j را می‌توان با استفاده از رابطه 5 ، محاسبه نمود.

$$C_j = \delta_j \sum_{k=1}^m (1 - r_{jk}) \quad (5)$$

که در آن C_j معرف میزان اطلاعات معیار j و انحراف معیار در مقادیر مربوط به عامل یا معیار j را نشان می‌دهد. با توجه به روابط یادشده، معیارهایی که دارای C_j بیشتری باشند وزن زیادی به خود اختصاص خواهند داد. وزن هر عامل مانند j از رابطه 6 ، تعیین می‌گردد.

$$W_j = \frac{C_j}{\sum_{k=1}^m C_k} \quad (6)$$

¹. Baumgartel et al

². Hoseini et al

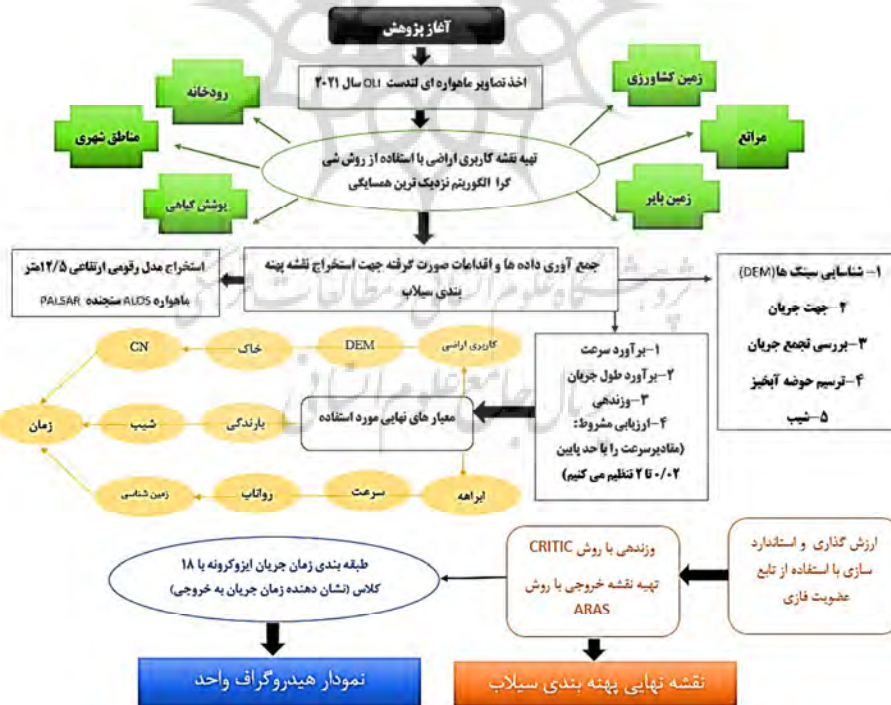
که در آن W_j معرف وزن معیار j و C_k نشانگر میزان اطلاعات مجموع معیارهای k است که از $1 = k = m$ ادامه دارد. لذا، وزن نهایی هر معیار، از تقسیم میزان اطلاعات هر معیار بر مجموع میزان کل اطلاعات تمامی معیارها بدست می‌آید (تاش و آیتک آدالی^۱، ۲۰۱۹).

-۴- محاسبه مطلوبیت کل هر گزینه: برای به دست آوردن تابع بهینگی S_i ، اعداد نرمال شده وزین (x_{ij}) را به صورت سطیری با هم جمع می‌کنیم (رابطه ۷). بزرگترین مقدار S_i بهترین است، و کمترین آن بدترین. با توجه به روند محاسبه شده، تابع بهینگی S_i دارای یک رابطه مستقیم و متناسب با مقادیر x_{ij} و وزن های w_j از معیارهای بررسی شده و تأثیر نسبی آن ها بر روی نتیجه نهایی است.

$$S_i = \sum_{j=1}^n \hat{x}_{ij}; i = \overline{0.m}. \quad (7)$$

-۵- محاسبه مطلوبیت نسبی هر گزینه و رتبه‌بندی گزینه‌ها: درجه مطلوبیت هر گزینه (آلترناتیو) به وسیله مقایسه متغیری که تجزیه و تحلیل شده است، با حالت ایده آل یعنی S_0 مشخص می‌گردد. معادله مورد استفاده برای محاسبه درجه مطلوبیت K_i از یک گزینه a_i به صورت رابطه (۸) است (دیانی و همکاران، ۱۳۹۷؛ زاودسکاس و تورسکیس^۲، ۲۰۱۰). روند پژوهش در شکل ۵، قابل مشاهده می‌باشد.

$$K_i = \frac{S_i}{S_0}; i = \overline{0.m}. \quad (8)$$



شکل ۵: فلوچارت مرتبه پژوهش.

¹. Tuş & Aytaç Adalı

². Zavadskas and Turskis

نتایج و بحث

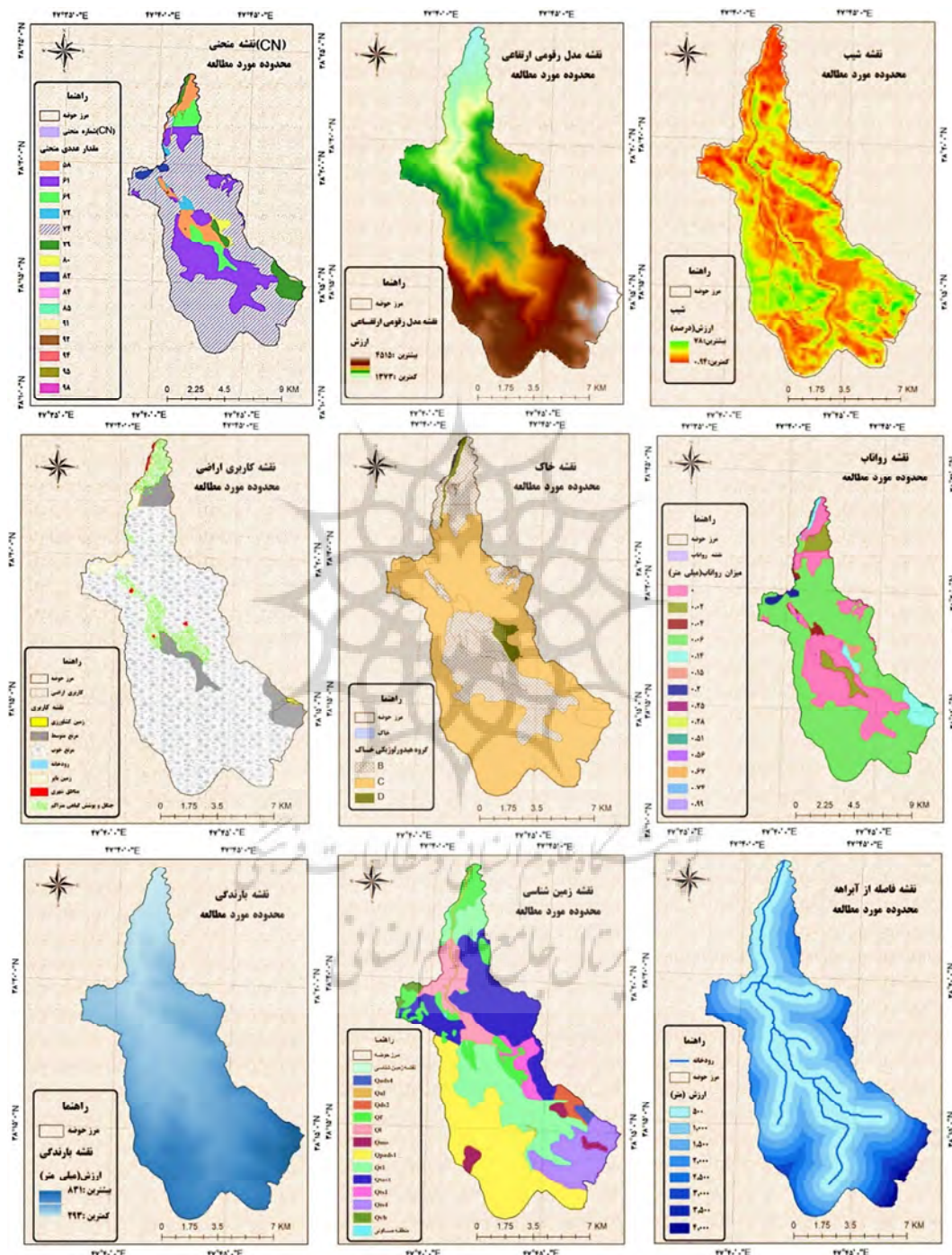
بررسی معیارهای مطرح در پنهانه بندی خطر سیلاب حوضه مورد مطالعه

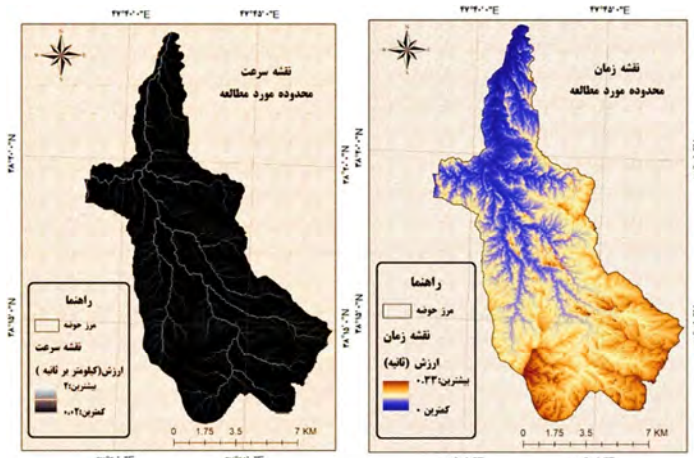
از معیارهای بسیار مهم و تاثیرگذار دخیل در رفتار حوضه آبخیز، شیب دامنه‌ها می‌باشد که در مقدار رواناب، میزان نفوذ، شدت سیلابها و میزان فرسایش نقش اساسی را ایفا می‌نماید. در حوضه مورد مطالعه، مقدار شیب بین ۰/۹۴ تا ۰/۷۸ درصد است. در حوضه مطالعه‌ای؛ مقدار شیب در حوالی شهر به زیر ۵ درصد می‌رسد و در فاصله چند کیلومتری خارج از شهر مشکین شهر از سمت جنوب بر شدت شیب‌ها اضافه می‌شود و این افزایش مقدار شیب، تا ارتفاع دامنه‌های سبلان ادامه پیدا می‌کند. از زمره‌ی عوامل هم مؤثر دیگر در مقدار و نوع ویژگی‌های جوی، وضعیت پوشش‌گیاهی، تبخیر و تعرق، میزان رواناب و در نهایت ایجاد سیلاب حوضه، عامل پستی و بلندی حوضه (ارتفاع)، می‌باشد. متوسط ارتفاع منطقه ۳۰۰۰ متر و حداقل ارتفاع کل محدوده ۱۳۷۳ و حداکثر ارتفاع آن ۴۵۱۵ متر می‌باشد. جنوب محدوده دارای بیشترین ارتفاع است و ارتفاع شهر مشکین شهر از سطح دریا بین ۱۳۰۰ تا ۱۶۲۵ متر در نوسان است. در نواحی کوهستانی حوضه، پرتوگاه‌های مشرف به دره‌ها فراوان است و رودها برای رسیدن به تعادل اقدام به حفر بستر و عمیق‌تر کردن بستر خود می‌کنند، لذا میزان فرسایش و حمل مواد آبرفتی و رسوبی نیز در این قسمت از حوضه بسیار بالا است.

استفاده‌ی نامعقول از حریم مسیلهای به ظاهر مساعد و بالقوه خطرناک که در معرض سیلاب‌های ادواری قرار دارند، از جمله‌ی مهمترین عوامل افزایش خسارات سیل محسوب می‌گردد. در حوضه‌ی مورد مطالعه با توجه به تراکم شبکه آبراهه، توپوگرافی کوهستانی، شیب زیاد حاکم بر منطقه، بارش زیاد (به ویژه بارش‌های ناگهانی و رگباری در فصل بهار) و نیز دائمی بودن رودخانه خیاوچای، فواصل نزدیک به رودخانه عمدتاً در معرض سیل خیزی قرار دارد. بارندگی را می‌توان مهم‌ترین عاملی دانست که به طور مستقیم در چرخه‌ی هیدرولوژی دخالت دارد. در حوضه مطالعه‌ای، فصل بهار، فصل بارش‌های ناگهانی، ذوب برف‌ها، طغیان رودخانه و جاری شدن سیلاب‌های شدید در منطقه می‌باشد. خصوصیات خاک روی تحول و پیدایش رواناب اثر داشته و باید در محاسبات مربوط به آن در نظر گرفته شود. خاک‌ها با نفوذپذیری مناسب به میزان زیادی، آب‌های حاصل از بارندگی را به زمین نفوذ داده و باعث تغذیه‌ی سفره‌های زیرزمینی می‌گردد. در حالی که اراضی با بافت ریز و فشرده باعث می‌شود که آب نتواند در زمین نفوذ نموده، بلکه قسمت‌های زیادی از آب به صورت رواناب در سطح زمین جاری می‌شود. خاک‌های حوضه بالادست ایستگاه پل سلطان، شامل سه نوع گروه هیدرولوژیکی B، C و D می‌باشد. بیشتر مساحت منطقه از نوع خاک‌هایی است که دارای بافت ریز یا سنگین است و عملاً غیرقابل نفوذ بوده و پتانسیل سیل خیزی بالایی دارند. خاک به همراه سنگ-شناصی منطقه، تا حدود زیادی تعیین‌کننده شدت و ظرفیت نفوذپذیری بوده و رواناب را تحت تأثیر قرار می‌دهد. هنگامی که سنگ‌ها قابلیت نفوذ کمی داشته باشند، به طور مستقیم باعث گسترش سیستم آبراهه‌ای می‌شوند و مقدار زیادی جریان سطحی ایجاد می‌کنند. منطقه مطالعه‌ای به لحاظ زمین‌شناسی از سازنده‌های گوناگون و متنوع مربوط به دوران‌های مختلف زمین‌شناسی تشکیل گردیده که بخش اعظم آن متعلق به تشکیلات آذرین می‌باشد. این تشکیلات که حاصل فعالیت‌های آتش‌نشانی اواخر دوران سوم و اوایل دوران چهارم زمین‌شناسی است که نفوذ-

پذیری پایین و به تبع مقدار رواناب زیاد است. در پاره‌ای مناطق با تشکیلات آهکی دوران‌های قبل برخورد نموده و مجموعه آهکی- آتشفشاری را بوجود آورده است.

کاربری اراضی روی جریان رودخانه و وقوع سیلاب به روش‌های مختلفی تأثیر می‌گذارد. برای مثال؛ از بین بردن پوشش گیاهی و تبدیل آن به اراضی کشاورزی و یا مناطق شهری، نفوذپذیری اراضی را کاهش داده و امکان سیل- خیزی را افزایش می‌دهد. نوع کاربری اراضی در سطح حوضه به هفت نوع کاربری زراعی، مرتع خوب، مرتع متوسط، زمین بایر، مسکونی، مناطق آبی، جنگل و پوشش گیاهی متراکم تقسیم می‌گردد و کاربری‌هایی با نفوذپذیر کم مقدار رواناب بیشتر (مناطق مسکونی، مرتع متوسط و اراضی بایر)، بیشترین پتانسیل وقوع سیلاب را در سطح حوضه مطالعاتی دارند. مقدار CN حوضه نیز بین ۹۸ تا ۵۸ متغیر است که در CN برابر ۹۸، تمامی بارش در سطح زمین جریان یافته و ارتفاع رواناب برابر با ارتفاع بارندگی خواهد بود. شماره منحنی کمتر، مربوط به مناطق با نفوذپذیری بالا و رواناب کم و شماره منحنی بالا (۹۸)، مربوط به مناطق با کمترین نفوذپذیری و بالاترین رواناب می‌باشد. ارتفاع رواناب در محدوده مطالعاتی بین صفر تا ۰/۹۹ می‌باشد. پتانسیل تولید رواناب، در ارتفاعات منطقه که دارای شبیه زیاد و تشکیلات زمین‌شناسی از نوع سخت (سنگ‌های آذرین) هستند و نیز در داخل محدوده شهری که سطح شهر از سطوح نفوذناپذیر و یا با نفوذپذیری کم (مانند سطوح آسفالتی و مناطق مسکونی و....) تشکیل شده است، مقادیر زیادی داشته و دارای بالاترین رده پتانسیل سیل خیزی می‌باشد. مقادیر سرعت جریان در سطح محدوده مورد مطالعه، بین ۰/۰۲ تا ۲ متر در ثانیه می‌باشد. با توجه به ماهیت کوهستانی رودخانه، شبیه بستر رودخانه در طول مسیر نسبتاً بالا می‌باشد و نقاط دارای سرعت زیاد جریان، به طور عمده با مسیرهای اصلی روانه در دره‌های پرشیب و اغلب با تشکیلات زمین‌شناسی از نوع سخت (سنگ‌های آذرین) و نفوذناپذیر منطبق هستند. در نقشه خطوط همزمان زمانی که طول می‌کشد تا آب به سمت خروجی جریان یابد، از صفر ثانیه (بارانی که بر روی خروجی نزول می‌کند) تا حدود ۶۸۰۰۰ ثانیه (در طول ۱۷ ساعت) متغیر است. در نهایت هرچه به نقطه خروجی حوضه نزدیک‌تر می‌شویم به مدت زمان رسیدن جریان آب از دورترین نقطه حوضه به این نقطه افزوده می‌شود. با استفاده از برآورد مدت زمان هم پیمایش می‌توان، مدت زمان رسیدن سیل به مناطق مسکونی یا کشاورزی و نقاط مخاطره‌آمیز در سطح حوضه را محاسبه نمود (شکل ۶)، نشان دهنده نقشه‌های معیارهای مطرح در پنهان‌بندی خطر سیلاب محدوده مورد مطالعه می‌باشد.





شکل ۶: نقشه‌های معیارهای مطرح در پهنه‌بندی خطر سیلاب محدوده مطالعه.

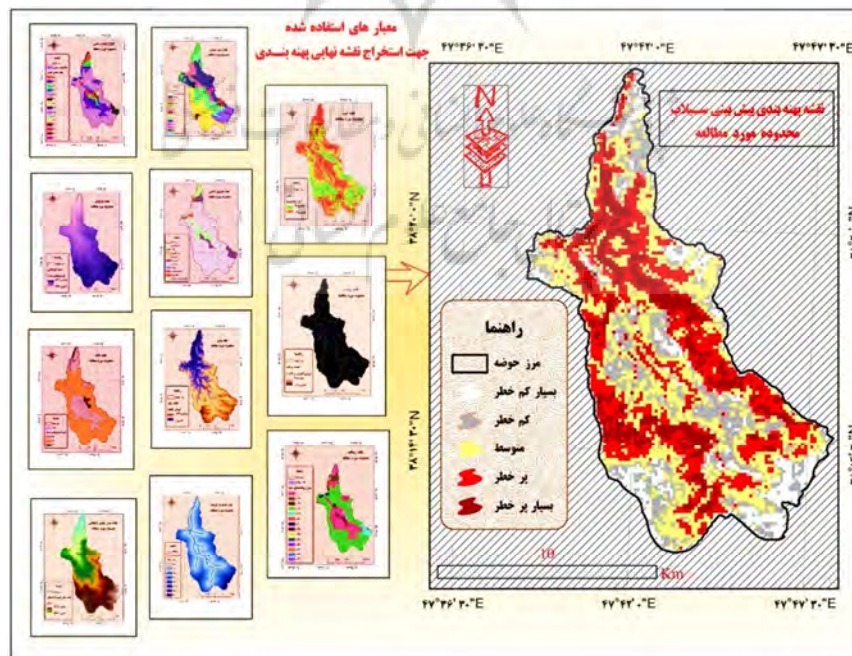
پس از تهییه نقشه‌های معیارهای مطرح در نقشه پهنه‌بندی پتانسیل سیلاب حوضه و اعمال کردن وزن‌های مربوطه (جدول ۴)، نقشه‌های حاصله وارد مدل آراس شده و با اعمال مراحل مختلف مدل بر روی نقشه‌ها، خروجی نهایی (شکل ۷)، در ۵ طبقه بسیار پرخطر تا بسیار کم خطر بدست آمد. بنابر نتایج حاصل از وزن‌دهی، عوامل شیب، لیتوژوژی، کاربری و ارتفاع، به ترتیب مهم‌ترین عوامل دخیل در شکل‌گیری جریان‌های سیلابی در منطقه می‌باشند. با توجه به نتایج به دست آمده، به ترتیب ۰/۴۶ و ۰/۲۰ کیلومترمربع از مساحت محدوده، در طبقه بسیار پرخطر و پرخطر قرار دارند (جدول ۵). با بررسی نقشه پهنه‌بندی پتانسیل سیلاب محدوده مطالعه و مقایسه آن با نقشه‌های معیار، می‌توان به این نتیجه دست یافت که مناطق بسیار پرخطر، در الیت اول، به طور عمده در مناطق پرشیب و کوهستانی منطقه (شیب بیش از ۵۰ درصد)، قرار دارند. در این مناطق پرخطر با توجه به اینکه بخش اعظم سازنده‌ها متعلق به تشکیلات مربوط به فعالیت‌های آتشفشاری اواخر دوران سوم و اوایل دوران چهارم زمین‌شناسی است، میزان نفوذ‌پذیری بسیار پایین می‌باشد و ارتفاع رواناب و مقدار CN و میزان سرعت جریان نیز در این مناطق بالا می‌باشد. همچنین شایان ذکر می‌باشد، در مناطق کوهستانی و ارتفاعات موجود در حوضه، با توجه به اینکه اغلب سنگ‌شناصی ارتفاعات از سنگ‌های جوان آتشفشار سبلان و لاها رها (رسوبات فاقد پیوستگی و سیمان می‌باشد) تشکیل شده است. به احتمال بسیار قوی، دامنه‌های کوه به آسانی شسته شده و همراه سیلاب حجم بسیار زیاد سنگ‌های آتشفشاری توسط آب حمل گردد و چه بسا وارد مناطق مسکونی موجود در شهر و روستا شده و مشکلات ناشی از وقوع سیلاب را دو چندان نماید (همانند اتفاقی که در بی‌سیل ۱۳۸۱ مؤییل مشکین شهر، رخ داد).

در الیت دوم مناطق با پتانسیل خطر بالا، در محل ورود به محدوده شهری مشکین شهر قرار دارند. پارک حاشیه رودخانه در مشکین شهر، در مسیر جاده اردبیل - مشکین شهر، درست در کنار شهر مشکین شهر، در این محدوده قرار دارد. در این محل، از قدیم، با توجه به وجود بستر مناسب در دو سمت دو روانه، نسبت به کاشت درختان و همچنین کاربری کشاورزی اقدام شده است و در طی سال‌های اخیر با ایجاد امکانات رفاهی به عنوان پارک و تفرجگاه تقریبی مورد استفاده قرار می‌گیرد. اما نکاتی که باید بدان توجه داشت این امر می‌باشد که بخش اعظمی از اراضی پارک در زمین‌های بستر رودخانه احداث شده اند که همیشه خطر سیل آنها را تهدید می‌نماید. به علاوه، پل احداثی

بر روی رودخانه، در این بخش از خیاوهای، معتبر عبور سیلاب را بشدت تنگ نموده است و باعث افزایش غیر طبیعی سطح آب در بالادست آن می‌گردد. همچنین، شهر مشگین شهر، در سمت شرق، دره عمیق خیاوهای قرار دارد که رودخانه خیاوهای در آن جریان دارد. دو دره شعاعی دیگر در مسیر طبیعی، جریان آب‌های سطحی را تشکیل می‌دهد که در امتداد آن‌ها محلات مسکونی توسعه یافته‌اند که در معرض سیل و جریان شدید آب‌های سطحی می‌باشند. با توجه به اینکه بیشتر سطح شهر از سطوح آسفالتی و مسکونی تشکیل شده است، مقدار نفوذپذیری بسیار کم می‌باشد و در مقابل مقدار رواناب (۹۹ درصد) و CN (منحنی بالای ۸۰) است.

جدول ۴: وزن نهایی معیارهای مطرح در پهنه‌بندی سیلاب.

معیار	MN	مجموع تضاد	انحراف معیار	میزان اطلاعات	وزن نهایی
شب	۱۱/۲۲۲	۰/۳۱	۳/۴۹۹	۰/۱۶۴	۰/۱۶۴
ارتفاع	۸/۸۱۶	۰/۲۲۱	۲/۴۸۲	۰/۱۱۶	۰/۱۱۶
بارش	۹/۲۸۴	۰/۲۱۴	۰/۲۱۴	۰/۰۱۰	۰/۰۱۰
سرعت	۷/۹۴۵	۰/۲۵۵	۲/۰۳۱	۰/۰۹۵	۰/۰۹۵
CN	۹/۹۲۱	۰/۱۴۶	۱/۴۵۸	۰/۰۶۸	۰/۰۶۸
رواناب	۹/۰۸۴	۰/۱۱۷	۱/۰۶۲	۰/۰۴۹	۰/۰۴۹
فاصله از رودخانه	۸/۹۰۵	۰/۱۱۷	۱/۰۴۹	۰/۰۴۹	۰/۰۴۹
خاک	۸/۲۷۹	۰/۲۲۰	۱/۸۲۳	۰/۰۸۵	۰/۰۸۵
لیتوژئی	۱۱/۰۷۲	۰/۳۰۰	۳/۳۲۳	۰/۱۵۶	۰/۱۵۶
کاربری	۹/۳۰۱	۰/۲۶۹	۲/۵۱۰	۰/۱۱۸	۰/۱۱۸
زمان	۸/۴۴۰	۰/۲۱۳	۱/۸۰۲	۰/۰۸۴	۰/۰۸۴

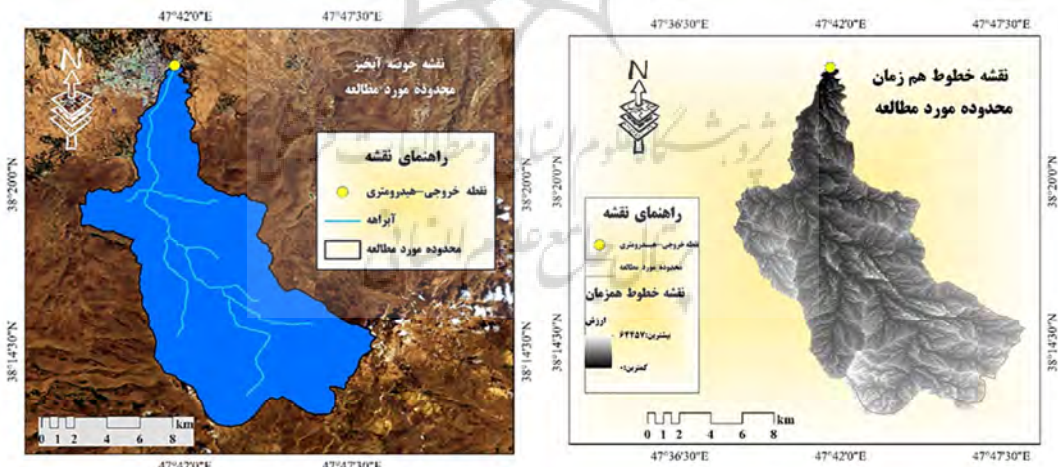


شکل ۷: نقشه پهنه‌بندی خطر سیلاب حوضه‌ی بالا دست ایستگاه پل سلطان مشکین شهر.

جدول ۵: اطلاعات طبقات خطر سیلاب حوضه‌ی مورد مطالعه.

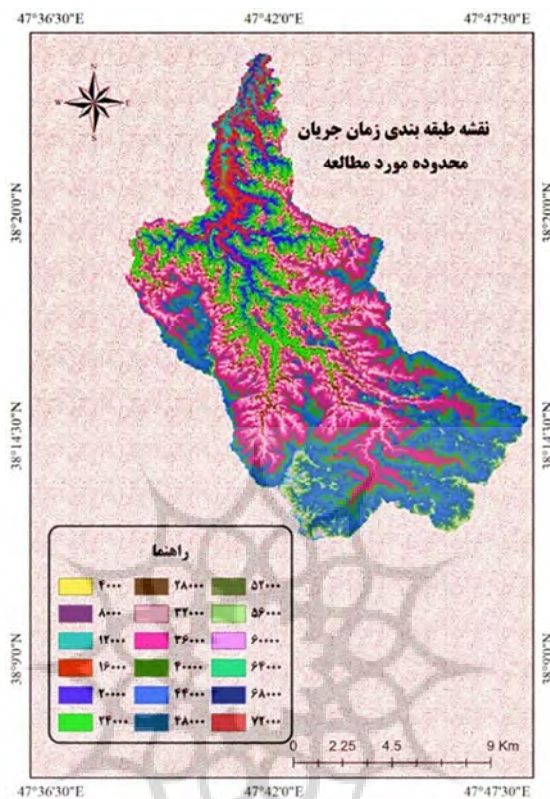
طبقه خطر	بسیار پر خطر	پر خطر	خطر متوسط	کم خطر	بسیار کم خطر	مساحت به کیلومترمربع	مساحت به درصد
	۱۳/۵۰	۳۰/۷۴	۳۰/۶۶	۳۲/۰۲	۲۹/۴۶		
	۱۰/۶۰	۲۴/۱۳	۲۴/۰۷	۲۵/۱۴	۱۶/۰۶		

با انجام مراحل پژوهش و با توجه به نقشه‌های جهت و سرعت جریان، نقشه خطوط هم‌بارش زمان در سطح حوضه مورد مطالعه، به دست آمد (شکل ۸ و ۹). با توجه به اینکه، لایه رستی زمان جریان شامل تعداد بسیار زیادی از مقادیر منحصر به فرد است که آنالیز بعدی را پیچیده می‌کند. برای آسان‌تر شدن کار، لایه زمان جریان را به مناطق ایزوکرونی یا همزمان طبقه‌بندی کردیم (شکل ۱۰). ایزوکرونی یک خط کانتور است که از نقاط تقریباً برابر زمان حرکت به سمت خروجی حوضه عبور می‌کند که در این پژوهش ۱۸ لایه ایزوکرون طبقه‌بندی شده است. ما خطوط هم‌پیمایش یا ایزوکرن را در فواصل زمانی برابر ۴۰۰۰ ثانیه یا یک ساعت تعریف کردی‌ایم. برای مناطق بزرگ‌تر، می‌توان از فواصل مختلفی برای ایزوکرون‌ها استفاده کرد، اما برای حوضه مورد پژوهش، این فاصله زمانی یک ساعت‌ه کافی و مناسب است. با این فواصل زمانی، هر سلول در اولین منطقه هم‌پیمایش حدود ۴۰۰ ثانیه طول می‌کشد تا به نقطه خروجی برسد. در دومین منطقه هم‌پیمایش، حدود ۸۰۰۰ ثانیه طول می‌کشد تا به نقطه خروجی برسد. در نهایت هرچه به نقطه خروجی حوضه نزدیک‌تر می‌شویم به مدت زمان رسیدن جریان آب از دورترین نقطه حوضه به این نقطه افزوده می‌شود. به طوری که به ترتیب ۶۴۰۰۰ و ۶۸۰۰۰ ثانیه طول می‌کشد تا جریان آب به لایه‌های ایزوکرون ۱۷ و ۱۸ برسد.



شکل ۹. نقشه خطوط هم زمان حوضه مورد مطالعه.

شکل ۸. نقشه حوضه آبخیز حوضه مورد مطالعه.



شکل ۱۰. نقشه طبقه‌بندی زمان جریان حوضه مورد مطالعه.

نقشه ایزوکرونی به جدول شماره (۶)، تبدیل گردید که رابطه بین زمان و مساحت جریان آب به خروجی را نشان می-دهد. سپس با توجه به این جدول، هیدروگراف واحد (شکل ۱۱)، ترسیم شد. بررسی هیدروگراف حاصل نشان می-دهد که مجموع جریانی که به خروجی حوضه می‌رسد با گذشت زمان شدت بیشتری پیدا می‌نماید. می‌توان بیان داشت با تخمین مدت زمان هم پیمایش مبتنی بر DEM و GIS می‌توان، مدت زمان رسیدن سیل به مناطق مسکونی یا کشاورزی و نقاط مخاطره‌آمیز در سطح حوضه را محاسبه نمود. به علاوه می‌توان مدت زمان لازم جهت حرکت و اقدامات لازم برای امدادرسانی به مناطقی که احتمال سیل‌گیری در آن مناطق وجود دارد را محاسبه کرد.

جدول ۶: ویژگی‌های مستخرج از نقشه همزمان پیمایش.

ایزوکرون	زمان (ثانیه)	تعداد جریان	مساحت هر ایزوکرن	میزان تخلیه اضافی	آب در نقطه خروجی (متر مربع)
۱	۴...	۲	۱۸۰۰	۱	
۳۳۶	۸...	۶۷۲	۶۰۴۸۰۰	۳۳۶	
۱۰۹۵	۱۲...	۲۱۹۰	۱۹۷۱۰۰	۱۰۹۵	
۲۸۴۸	۱۶...	۵۶۹۶	۵۱۲۶۴۰۰	۲۸۴۸	
۵۶۴۳	۲۰...	۱۱۲۸۶	۱۰۱۵۷۴۰۰	۵۶۴۳	
۸۷۰۳/۵	۲۴...	۱۷۴۰۷	۱۵۶۶۶۳۰۰	۸۷۰۳/۵	
۵۶۳۱	۳۰...	۱۱۲۶۲	۱۰۱۳۵۸۰۰	۵۶۳۱	
۱۳۹۱۷/۵	۳۴...	۲۷۸۳۵	۲۵۰۵۱۵۰۰	۱۳۹۱۷/۵	
۱۵۲۶۹/۵	۴۰...	۳۰۵۳۹	۲۷۴۸۵۱۰۰	۱۵۲۶۹/۵	
۱۴۳۳۲/۵	۴۴...	۲۸۶۸۵	۲۵۷۹۸۵۰۰	۱۴۳۳۲/۵	
۱۱۲۵۲/۵	۴۶...	۲۲۵۰۵	۲۰۲۵۴۵۰۰	۱۱۲۵۲/۵	
۷۳۱۸	۴۸...	۱۴۶۳۶	۱۳۱۷۲۴۰۰	۷۳۱۸	
۳۹۳۹	۵۰...	۷۸۷۸	۷۰۹۰۲۰۰	۳۹۳۹	
۱۷۳۷/۵	۵۲...	۳۴۷۵	۳۱۲۷۵۰۰	۱۷۳۷/۵	
۶۹۸/۵	۵۶...	۱۳۹۷	۱۲۵۷۳۰۰	۶۹۸/۵	
۲۳۹	۶۰...	۴۷۸	۴۳۰۲۰۰	۲۳۹	
۶۱	۶۴...	۱۲۲	۱۰۹۸۰۰	۶۱	
۵	۶۸...	۱۰	۹۰۰۰	۵	



شکل ۱۱: هیدروگراف حاصل از روش تعیین خطوط همزمان پیمایش.

نتیجه گیری

مخاطرات سیلاب یکی از مهم‌ترین و پرhadثه‌ترین مخاطرات طبیعی ایران می‌باشد که در سال‌های اخیر تکرار و شدت وقوع آن بیشتر شده است. یکی از راه‌های کاهش و جلوگیری از خسارات ناشی از این مخاطره شناخت و پنهان‌بندی مناطق پرخطر سیلاب می‌باشد. در این پژوهش سعی شد، در چهارچوب تکنیک آراس که به عنوان یکی از فنون بررسیتۀ تحلیل چند معیاری محاسبه شود، تاثیر مولفه‌های دخیل در شکل‌گیری پتانسیل سیل خیزی مورد توجه قرار گیرد و در برایند استفاده عملیاتی از روش مذکور در محیط سیستم اطلاعات جغرافیایی، به ارائه چارچوب قاعده‌مندی در تعیین و پنهان‌بندی پتانسیل سیل خیزی در سطح محدوده مطالعه، اقدام شود. بنابر نتایج حاصل از وزن‌دهی، از بین عوامل مؤثر در ایجاد سیلاب محدوده مطالعه‌ی، عوامل شیب با ضریب وزنی (۰/۱۶۴)، لیتوژئی با ضریب وزنی (۰/۱۵۶)، کاربری با ضریب وزنی (۰/۱۱۸) و ارتفاع با وزن (۰/۱۱۶)، به ترتیب مهم‌ترین عوامل ایجاد سیلاب در منطقه می‌باشند. نتایج حاصل از مطالعه نشان داد که به ترتیب ۱۶/۰۶ و ۲۵/۱۴ درصد از محدوده مطالعه‌ی در طبقه بسیار پرخطر و پرخطر قرار دارد. مناطق پر خطر در لویت اول، به طور عمده در مناطق پرشیب و کوهستانی منطقه و در لویت دوم در محل ورود رودخانه به محدوده شهری مشکین‌شهر (که نقطه خروجی حوضه مورد مطالعه نیز می‌باشد)، قرار دارند.

نتایج مطالعه حاکی از توان بالای منطقه مورد مطالعه از لحاظ ایجاد خطر سیلاب می‌باشد، لذا اراضی با احتمال خطر بسیار زیاد و زیاد، اراضی هستند که باید اقدامات حفاظتی و آبخیزداری (مانند: جلوگیری از فرسایش و تخریب خاک، کاهش بار رسوی آب، کاهش سرعت و شدت جریان رواناب، افزایش زمان تمرکز سیلاب، ایجاد فرصت برای نفوذ آب در لایه‌های زیرین حوضه و تغذیه آبخوان‌ها، کشت گیاهان مناسب با شرایط جغرافیایی دامنه‌ها و احياء مرتع و ایجاد عرصه‌های فضای سبز) در آن انجام گیرد. نقشه پنهان‌بندی خطر سیلاب مستخرج از تکنیک آراس، در پژوهش حاضر، می‌تواند در تعیین مناطق مناسب برای انتخاب مکان مناسب برای ساخت و سازها، در طراحی پروژه‌ها، مدیریت‌های محیطی، اجرای برنامه‌ها، طرح‌های عمرانی و هرگونه ساخت و سازها و فعالیت‌های زیربنایی در محدوده مطالعه، به منظور انتخاب استراتژی صحیح و مناسب و دوری از مناطق پرخطر، مورد استفاده قرار گیرد و براساس نقشه پنهان‌بندی خطر سیل ارائه شده می‌توان اقدامات مدیریتی مناسبی را برای کاهش خسارت‌ها و تلفات ناشی از سیل در آینده، برای منطقه مورد مطالعه انجام داد.

منابع

- اسفندیاری درآباد فریبا، لایقی صدیقه، مصطفی زاده رئوف، حاجی خدیجه، (۱۴۰۰)، پنهان‌بندی پتانسیل خطر وقوع سیلاب حوضه آبخیز قطورچای با روش‌های تصمیم‌گیری چندمعیاره ANP و WLC، تحلیل فضایی مخاطرات محیطی، دوره ۸، شماره ۲، صص: ۱۵۰-۱۳۵.
- اوzi، رمضان، (۱۳۹۰)؛ جغرافیای مخاطرات (مخاطرات طبیعی و انسانی)، انتشارات دانشگاه تبریز، تبریز.
- آنامردزاد، رحیم بردى، نیکپور، عامر و زهره حسنی، (۱۳۹۷)؛ تحلیل کالبدی-فضایی نواحی شهری بر اساس شاخص‌های رشد هوشمند شهری (مطالعه موردی: شهر بابل)، فصلنامه پژوهش و برنامه‌ریزی شهری، دوره ۹، شماره ۳۴، صص: ۳۰-۱۹.

خورشیدی شهرناز، رستمی، نورالدین و امین صالح‌پور جم، (۱۴۰۰)؛ اولویت‌بندی پتانسیل سیل‌خیزی در حوضه‌های آبخیز فاقد آمار با کاربرد روش AHP-VIKOR (مطالعه موردنی: حوضه آبخیز حاجی‌بختیار، استان ایلام)، پژوهش‌های فرسایش محیطی، دوره ۲، شماره ۱۱، ص: ۹۲-۶۶.

دیانی، لیلا، پورطاهری، مهدی، رکن الدین افتخاری، عبدالرضا و حسن احمدی، (۱۳۹۷)؛ رتبه بندی سازه‌های اصلی ساماندهی بافت‌های فرسوده روستاهای پیرامون کلان شهرها با استفاده از روش ارزیابی نسبت تجمعی (ARAS) (مطالعه موردنی: پیرامون کلان شهر تهران)، برنامه‌ریزی و آمایش فضای دوره ۲۲، شماره ۳، ص: ۱۴۵-۱۸۱.

رضائی مقدم، محمدحسین، رضایی بنفشه درق، مجید، فیضی‌زاده، بختیار، حسین نظمفر، حسین، (۱۳۸۹)؛ طبقه‌بندی پوشش اراضی/کاربری اراضی بر اساس تکنیک شی‌گرا و تصاویر ماهواره‌ای، مطالعه موردنی: استان آذربایجان غربی، پژوهش‌های آبخیزداری (پژوهش و سازندگی)، دوره ۲۳، شماره ۲، ص: ۳۲-۱۹.

رضائی مقدم، محمدحسین، مختاری، داود، شفیعی مهر، مجید، (۱۴۰۰)؛ پنهانه بندی خطر سیلاب در حوضه آبریز شهر چای میانه با استفاده از مدل ویکور، هیدروژئومورفوژئی، دوره ۸، شماره ۲۸، ص: ۳۷-۱۹.

شکوهی، علیرضا و بهرام ثقیلیان، (۱۳۸۵)؛ مقایسه روش‌های استخراج خطوط همزمان پیمایش برای استفاده در روش روندیابی زمان - مساحت، تحقیقات منابع آب ایران، دوره ۲، شماره ۳، ص: ۵۰-۳۹.

عابدینی، موسی، هیدروژئومورفوژئی شهری، انتشارات نگین سبلان.

عابدینی، موسی، پیروزی، الناز، آقایاری، لیلا و الناز استادی، (۱۳۹۶)؛ پنهانه بندی خطر سیلاب در شهرستان مشکین شهر با استفاده از مدل ویکور، جغرافیایی سرزمین، دوره ۱۴، شماره ۵۶، ص: ۳۴-۲۱.

علیزاده رضا، ایزدی حسن و مجتبی آراسته، (۱۴۰۰)؛ رتبه‌بندی ظرفیت گردشگری طبیعت محور در مناطق کوهستانی، نمونه موردنی: منطقه شرقی استان لرستان، برنامه‌ریزی و آمایش فضای دوره ۲۵، شماره ۱۱۷-۱۴۲.

علیزاده، امین، (۱۳۹۰)؛ اصول هیدرولوژی کاربردی، چاپ سی و سوم، دانشگاه فردوسی مشهد، خراسان رضوی.

فیضی‌زاده، بختیار، جعفری، فیروز و حسین نظمفر، (۱۳۸۷)؛ کاربرد داده‌های سنجش از دور در آشکارسازی تغییرات کاربری‌های اراضی شهری (مطالعه موردنی فضای سبز شهر تبریز)، هنرهای زیبا، شماره ۳۴، ص: ۲۴-۱۷.

موسیوی، معصومه، نگهبان، سعید، رخشانی مقدم، حیدر و محسن حسین‌زاده، (۱۳۹۵)؛ ارزیابی و پنهانه بندی خطر سیلاب با استفاده از منطق فازی TOPSIS در محیط GIS (مطالعه موردنی: حوضه آبخیز شهر با غملک)، مجله مخاطرات محیط طبیعی، سال پنجم، شماره ۵، ص: ۹۸-۷۹.

نفرزادگان، علیرضا، محمدی‌فر، علی‌اکبر، وقارفرد، حسن و معصومه فروزان‌فرد، (۱۳۹۸)؛ ادغام مدل‌های تصمیم‌گیری چندمعیاره و تکنیک تجزیه و تحلیل منطقه‌ای سیلاب جهت اولویت‌بندی زیرحوزه‌ها برای کنترل سیل (مطالعه موردنی: حوزه آبخیز دهبار خراسان)، جغرافیا و مخاطرات محیطی، دوره ۲، شماره ۸، ص: ۴۵-۲۷.

Baumgertel, A., Lukić, S., Belanović Simić, S., Kadović, R. (2019); Identifying Areas Sensitive to wind Erosion—A Case Study of the AP Vojvodina (Serbia), Appl. Sci., Vol 9: 1-12.

Brahma, A.K., Mitra, D.K. (2019); Fuzzy AHP and Fuzzy VIKOR Approach modeling for flood control project selection. International Journal of Applied Engineering Research, 14 (17): 3579-35889.

Chen, Y., Ye, Z., Liu, H., Chen, R., Liu, Z., Liu, H. A. (2021); GIS-Based Approach for Flood Risk Zoning by Combining Social Vulnerability and Flood Susceptibility: A Case Study of Nanjing, China. Int. J. Environ. Res. Public Health, Vol 18, 11597.

Cho, Y., Engel, B.A., Merwade, V.M. (2018); A spatially distributed Clark's unit hydrograph based hybrid hydrologic model (Distributed-Clark), Hydrological Sciences Journal, Vol 63: 1519-1539.

Green, C., Dieperink, G., EK, K., Hegger, D., Pettersson, M., Priest, S., Tapsell, S. (2014). Flood risk management in Europe: the flood problem and interventions, Star flood, https://library.wmo.int/index.php?lvl=notice_display&id=15202

Hoseini, H. (2019); Use fuzzy interface systems to optimize land suitability evaluation for surface and trickle irrigation, Information Processing in Agriculture, Vol 6: 11-19.

Kolawole, O.M., Olayami, A.B., Ajayi, K.T. (2011). Managing Flood in Nigerian Cities: Risk Analysis and Adaptation Options-Ilorin City as a Case Study. Scholars Research Library, Vol 3(1): 17-24.

Samanta, S., Koloa, C., Kumar Pal, D., Palsamanta, B. (2016); Flood Risk Analysis in Lower Part of Markham River Based on Multi-Criteria Decision Approach (MCDA), Hydrology, 3 (29):1-13.

- Shivaprasad Sharma, S.V., Parth Sarathi, R., Chakravarthi, V., Srinivasa Rao, G. (2018); Flood risk assessment using multi-criteria analysis: a case study from Kopili River Basin, Assam, India, Geomatics, Natural Hazards and Risk, Vol 9(1): 79-93.
- Silalahia, F.E.S., Hidayath, F. (2019); Modelbuilder and Unit Hydrograph for Flood Prediction and Watershed Flow Direction Determination at The West Branch of the Little River, Stowe, Lamoille County, Vermont, USA, Geoplanning: Journal of Geomatics and Planning, 6 (2): 89-98.
- Tus, A, Aytaç Adalı, E, (2019); The new combination with CRITIC and WASPAS methods for the time and attendance software selection problem. *Opsearch* 56(3):528–538.
- Ward, P. J., Eisner, S., Florke, M., Dettinger, M. D., Kummu, M. (2014). Annual flood sensitivities to El Nino- Southern Oscillation at the global scale. *Hydrology and Earth System Sciences*, Vol 18: 47-66.
- Yoo, CH., Huy, P. D., Jun, CH., Na, W. (2021); Hillslope Contribution to the Clark Instantaneous Unit Hydrograph: Application to the Seolmacheon Basin, Korea, *Water*, 13 (12): 1-18.
- Zavadskas, E., Turskis, Z. (2010); a new additive ratio assessment (ARAS) method in multicriteria decision-making, *Technological and Economic Development of Economy*, 16 (2): 159-172.
- Zhu, S., Li, D., Huang, G., Chhipi-Shrestha, G., Nahiduzzaman, K.M., Hewage, K., Sadiq, R. (2020); Enhancing urban flood resilience: a holistic framework incorporating historic worst flood to Yangtze River Delta, China, *International Journal of Disaster Risk Reduction*, Vol 61: 1-52.



References

References (in Persian)

- Abedini, M. (2016); Urban Hydrogeomorphology, Negin Sabalan Publications. [In Persian]
- Abedini, M., Piroozi, E., Aghayary, L., Ostadi, E. (2018); Flood hazard zonation in the Meshkinshar Township using by VIKOR model. *Territory*, 14(56): 21-34. [In Persian]
- Alizadeh, A. (2011); Principles of Applied Hydrology, 33rd Edition, Ferdowsi University of Mashhad, Khorasan Razavi. [In Persian]
- Alizadeh, R., Izady, H., Arasteh, M. (2021); Ranking of Nature-based Tourism Capacity in Mountainous Regions, Case Study: Eastern Region of Lorestan Province. *MJSP*, 25 (1) :117-142. [In Persian]
- Anamoradnejad, R B., Nikpour, A., Hasani, Z. (2018); The Physical-Spatial Analysis of Urban Areas Based on the Indicators of the Urban Smart Growth (A Case Study: Babol). *9(34): 19-30.* [In Persian]
- Dayyani, L., Poor-taheri, M., Rokneddin-Eftekhari A., Ahmadi, H. (2018); Ranking of Basic Elements for organizing of Rural Deteriorated Textures on Fringes of Metropolises Using ARAS Method (Case Study: Fringes of Tehran Metropolis) Planning and arranging space, 22 (3):145-181. [In Persian]
- Esfandiary Darabad, F., Layeghi, S., Mostafazadeh, R., Haji, K., (2021); The zoning of flood risk potential in the Ghotorchay watershed with ANP and WLC multi-criteria decision-making methods. *Jsaeh*, 8 (2) :135-150 [In Persian]
- Faizizadeh, B., Jafari, F., Nazmafar, H. (2008); Application of Remote Sensing Data in Detecting Changes in Urban Land Uses (Case Study of Tabriz Green Space), *Fine Arts*, No. 34: 24-17. [In Persian]
- Khourshidi, S., Rostami, N., Salehpourjam, A. (2021); Prioritizing flood producing potential in ungauged watersheds using the AHP-VIKOR method (Case study: Haji-Bakhtiar Watershed, Ilam). *Environmental Erosion Research*, 11 (2) :66-92. [In Persian]
- Mosavi, S., Negahban, S., Rakhshaninasab, H., Hossainzadeh, S. (2017); Assessment and zoning Flood risk by using Fuzzy logic TOPSIS in GIS (Case study: Baghmalek urban catchment). *Journal of Natural Environmental Hazards*, 5(10): 79-98. [In Persian]
- Nafarzadegan, A., Mohammadifar, A., Vaghfarad, H., Foruzanfard, M. (2019); Combination of Multi-Criteria Decision-making Models and Regional Flood Analysis Technique to Prioritize Sub-watersheds for Flood Control (Case study: Dehbar Watershed of Khorasan). *Journal of Geography and Environmental Hazards*, 8(2): 27-45. [In Persian]
- Ozey, Ramazdan. (2011); hazards Geography (natural and human hazards), Tabriz University Press, Tabriz. [In Persian]
- Rezaei Moghaddam, M.H., Rezaei Banafsheh Daragh, M., Faizizadeh, B., Nazmafar. (2010); Land use /land cover classification based on Object-oriented technique and satellite image Case study: West Azerbaijan Provinces Watershed Management Researches Journal (Pajouhesh & Sazandegi), 23(2): 19-31. [In Persian]
- Rezaei Moghaddam, M., Mokhtari, D., Shafeimehr, M. (2021). Zoning flood risk in the Shahr Chai Watershed in Miyaneh using the Vikor model. *Hydrogeomorphology*, 8(28): 19-37. [In Persian]
- Shokoohi, A., Saghfian, B. (2007); Isochrones Mapping Methods in Time-Area Routing Technique. *Iran-Water Resources Research*, 2(3): 39-50. [In Persian]

References (in English)

- Baumgartel, A., Lukic, S., Belanovic Simic, S., Kadovic, R. (2019); Identifying Areas Sensitive to wind Erosion—A Case Study of the AP Vojvodina (Serbia). *Appl. Sci.*, Vol 9: 1-12.
- Brahma, A.k., Mitra, D.K. (2019); Fuzzy AHP and Fuzzy VIKOR Approach modeling for flood control project selection. *International Journal of Applied Engineering Research*, 14 (17): 3579-3589.
- Chen, Y., Ye, Z., Liu, H., Chen, R., Liu, Z., Liu, H. A. (2021); GIS-Based Approach for Flood Risk Zoning by Combining Social Vulnerability and Flood Susceptibility: A Case Study of Nanjing, China. *Int. J. Environ. Res. Public Health*, Vol 18, 11597.
- Cho, Y., Engel, B.A., Merwade, V.M. (2018); A spatially distributed Clark's unit hydrograph based hybrid hydrologic model (Distributed-Clark), *Hydrological Sciences Journal*, Vol 63: 1519-1539.
- Green, C., Dieperink, G., EK, K., Hegger, D., Pettersson, M., Priest, S., Tapsell, S. (2014). Flood risk management in Europe: the flood problem and interventions, *Star flood*. https://library.wmo.int/index.php?lvl=notice_display&id=15202
- Hoseini, H. (2019); Use fuzzy interface systems to optimize land suitability evaluation for surface and trickle irrigation, *Information Processing in Agriculture*, Vol 6: 11-19.
- Kolawole, O.M., Olayami, A.B., Ajayi, K.T. (2011). Managing Flood in Nigerian Cities: Risk Analysis and Adaptation Options-Ilorin City as a Case Study. *Scholars Research Library*, Vol 3(1): 17-24.
- Samanta, S., Koloa, C., Kumar Pal, D., Palsamanta, B. (2016); Flood Risk Analysis in Lower Part of Markham River Based on Multi-Criteria Decision Approach (MCDA), *Hydrology*, 3 (29):1-13.
- Shivaprasad Sharma, S.V., Parth Sarathi, R., Chakravarthi, V., Srinivasa Rao, G. (2018); Flood risk assessment using multi-criteria analysis: a case study from Kopili River Basin, Assam, India, *Geomatics, Natural Hazards and Risk*, Vol 9(1): 79-93.
- Silalahia, F.E.S., Hidayatb, F. (2019); Modelbuilder and Unit Hydrograph for Flood Prediction and Watershed Flow Direction Determination at The West Branch of the Little River, Stowe, Lamoille County, Vermont, USA, *Geoplanning: Journal of Geomatics and Planning*, 6 (2): 89-98.

- Tus, A, Aytaç Adalı, E, (2019); The new combination with CRITIC and WASPAS methods for the time and attendance software selection problem. *Opsearch* 56(3):528–538.
- Ward, P. J., Eisner, S., Florke, M., Dettinger, M. D., Kummu, M. (2014). Annual flood sensitivities to El Nino- Southern Oscillation at the global scale. *Hydrology and Earth System Sciences*, Vol 18: 47-66.
- Yoo, CH., Huy, P. D., Jun, CH., Na, W. (2021); Hillslope Contribution to the Clark Instantaneous Unit Hydrograph: Application to the Seolmacheon Basin, Korea. *Water*, 13 (12): 1-18.
- Zavadskas, E., Turskis, Z. (2010); a new additive ratio assessment (ARAS) method in multicriteria decision-making, *Technological and Economic Development of Economy*, 16 (2): 159-172.
- Zhu, S., Li, D., Huang, G., Chhipi-Shrestha, G., Nahiduzzaman, K.M., Hewage, K., Sadiq, R. (2020); Enhancing urban flood resilience: a holistic framework incorporating historic worst flood to Yangtze River Delta, China, *International Journal of Disaster Risk Reduction*, Vol 61: 1-52.

